

2013-10-24-Manschot

Invariants des carquois et mutations

Carquois graph orienté

$\begin{array}{ccc} \bullet & \longrightarrow & \bullet \\ & \searrow \nearrow & \\ & \bullet & \end{array}$ Q_0 - ensemble des sommets
 Q_1 - ensemble des flèches

$s: Q_1 \rightarrow Q_0$ source

$t: Q_1 \rightarrow Q_0$ but

Représentation

$$F = (\{V_i\}, \{f_a\})$$

- associer à chaque $i \in Q_0$ un espace v. complexe $V_i \simeq \mathbb{C}^{d_i}$
- associer à chaque flèche $a \in Q_1$

$$f_a: V_{s(a)} \rightarrow V_{t(a)}$$

"vecteur de dimension"

$$\vec{d} = (d_1, \dots, d_{|Q_0|})$$

Sous-représentation

une représentation

$F' = (\{W_i\}, \{g_a\})$ est une sous-rep de F si

$$W_i \subseteq V_i \text{ pour } \forall i \in Q_0$$

et la restriction fa sur
 $W_{S(a)}$ est égale à g_e

Exemples: $\begin{matrix} 0 \\ \textcircled{1} \end{matrix} \xrightarrow{0} \begin{matrix} 0 \\ \textcircled{2} \end{matrix} \quad d = (0, 0) \quad F_0$

$\begin{matrix} \mathbb{C} \\ \textcircled{1} \end{matrix} \xrightarrow{0} \begin{matrix} 0 \\ \textcircled{2} \\ \mathbb{Z} \end{matrix} \quad d = (1, 0) \quad F_1$

$\begin{matrix} 0 \\ \textcircled{1} \end{matrix} \xrightarrow{0} \begin{matrix} \mathbb{C} \\ \textcircled{2} \end{matrix} \quad d = (0, 1) \quad F_2$

$\begin{matrix} \mathbb{C} \\ \textcircled{1} \end{matrix} \xrightarrow{0} \begin{matrix} \mathbb{C} \\ \textcircled{2} \end{matrix} \quad d = (1, 1) \quad F_3$

$\begin{matrix} \mathbb{C} \\ \textcircled{1} \end{matrix} \xrightarrow{\mathbb{Z}} \begin{matrix} \mathbb{C} \\ \textcircled{2} \end{matrix} \quad d = (1, 1) \quad F_4$

multiplication par $z \in \mathbb{C}^*$

$F_3 = F_1 \oplus F_2$

$F_1 \subset F_3$ sous-représ

$F_2 \subset F_3$

$F_2 \subset F_4$

$F_1 = F_4 / F_2$ - rép. quotient.

Stabilité

2 possibilités:

① Paramètres de stab.

$\vec{\theta} = (\theta_1, \dots, \theta_{|Q_0|}) \in \mathbb{R}^{|Q_0|}$

pente:

$\mu(F, \vec{\theta}) = \frac{\vec{\theta} \cdot \vec{d}}{|\vec{d}|}$

$$\bar{\theta}_i |\vec{d}| = \sum_{i=1}^{|\mathbb{Q}_0|} d_i$$

Une repn. F est stable par rapport à $\vec{\theta}$ ssi

pour $\forall F' \subset F$ ($F' \neq 0$)

$$\mu(F', \vec{\theta}) < \mu(F, \vec{\theta})$$

semi-stable ssi \leq

$$\textcircled{2} \quad \vec{z} = (z_1, \dots, z_{|\mathbb{Q}_0|}) \in \mathcal{H}^{|\mathbb{Q}_0|}$$

où $\mathcal{H} = \{z \in \mathbb{C} \mid \operatorname{Im} z > 0\}$

charge centrale:

$$z(F) = \vec{z} \cdot \vec{d} \in \mathcal{H}$$

une repn. F est stable par rapport à \vec{z} ssi pour $\forall F' \subset F$

$$\operatorname{Arg}(z(F')) < \operatorname{Arg}(z(F))$$

Le lien entre 1 et 2:

$$\theta_i = \operatorname{Im} \left(\frac{z_i}{z(M)} \right)$$

M une repn. t.g. $\vec{d}(M)$
est t.g. $\sum \theta_i d_i(M) = 0$

Exemples

$\theta_1 < \theta_2$ F_0, F_1, F_2 - stables

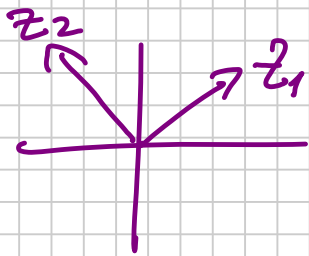
$$\mu(F_3) = \frac{\theta_1 + \theta_2}{2} < \theta_2 \text{ donc}$$

F_3 n'est pas stable.

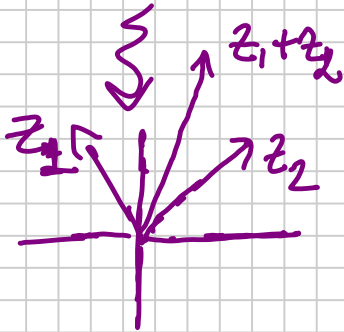
$\theta_1 > \theta_2$ F_0, F_1, F_2, F_4 non-stable

Passage de $\theta_1 < \theta_2$ à $\theta_1 > \theta_2$

est un exemple de wall crossing.



F_1, F_2



F_1, F_2, F_4
 \nearrow
 \nwarrow
 \nearrow
 \nwarrow
 z_1 z_2 $z_1 + z_2$
charge centrale de repr.

En général il n'y a pas de correspondance biunivoque entre les charges et représentations particulières

Espace de modèles de reprs

$M(\vec{d}, \vec{\theta})$: ensemble des

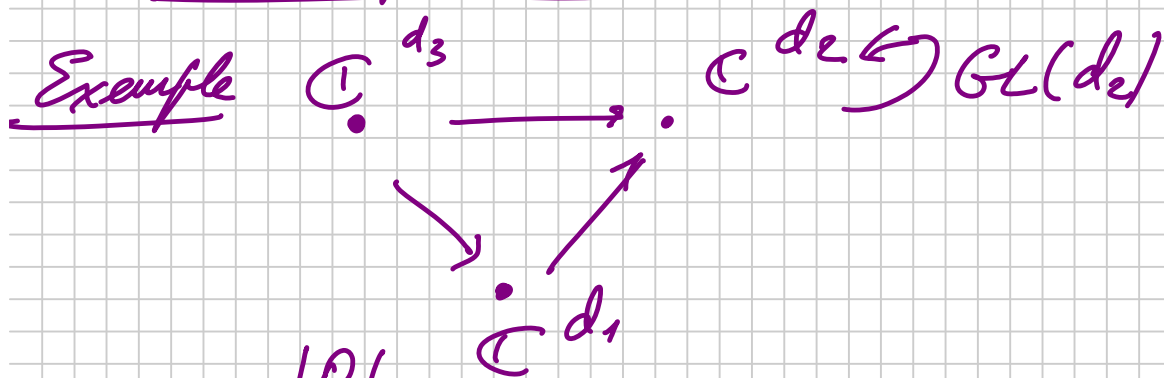
classes isomorphes de reps
 semi-stables avec vec. de
 $\dim \vec{d}$ et θ paramètres de
 stabilité θ

Si semi-stables impliquee stable

$M(\vec{d}, \theta) =$ variété projective
 lisse

alors \vec{d} est primitive,
 c.à.d. il n'y a pas de $n > 1$
 divisant \vec{d} .

Automorphismes



$$G_{\vec{d}} = \prod_{i=1}^{|\mathcal{Q}_{\vec{d}}|} GL(d_i)$$

$$g \in G_{\vec{d}} \quad g \cdot fa = (g_{b(a)} \mid g_{s(a)}^{-1})$$

Diagonale:

$(g_{b(a)}, g_{s(a)}) = (t \cdot \mathbb{1}, t \cdot \mathbb{1}), \quad t \in \mathbb{C}^*$
 L'espace de modules est alors:
 Espace d'applications / action
 de $G_{\vec{d}}$

Ex. $\theta_1 > \theta_2$

$$1) \quad ! \xrightarrow{z} ! \quad z \in \mathbb{C}^*$$

$$M(1, 1, \vec{\theta}) = \frac{\mathbb{C}^*}{\mathbb{C}^*} = \{1\}$$

$$2) \quad \cdot \xrightarrow{\infty} \cdot$$

$$M(1, 1, \vec{\theta}) = \mathbb{C}^* \setminus \{0\} / \mathbb{C}^* = \mathbb{P}^{2-1}$$

Invariants topologiques

Soit M une variété complexe. On définit les notions suivantes (cadre générale)

$$h^{p,q}(M) = \dim H^{p,q}(M, \mathbb{C})$$

Charact. d'Euler:

$$\chi(M) = \sum_{p,q} (-1)^{p+q} h^{p,q}(M)$$

Polynôme de Poincaré:

$$p(M, y) = \sum_{p,q} y^{p+q} h^{p,q}(M)$$

Polynôme de Dolbeault

$$p(M, y, t) = \sum_{p,q} y^{p+q} t^{p-q} h^{p,q}(M)$$

ici pour un espace de

module on définit
(espace de module est lisse, compact)

Les invariants de Donaldson-Thomas :

numérique :

$$\Omega(\vec{d}, \vec{\theta}) = (-1)^{\dim M(\vec{d}, \vec{\theta})} \chi(M(\vec{d}, \vec{\theta}))$$

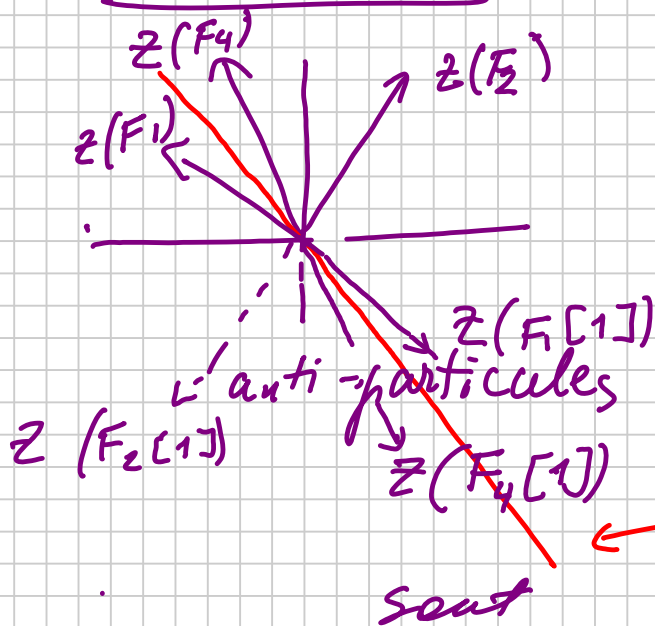
motricque :

$$\Omega(\vec{d}, \vec{\theta}, y) = y^{-\dim_{\mathbb{C}} M(\vec{d}, \vec{\theta})} P(M(\vec{d}, \vec{\theta})/y)$$

En physique, cet inv. calcul
un nombre de l'états quantiques

Mutation dans ce contexte
depend des paramètres de
stabilité.

Un exemple : $\theta_1 > \theta_2$



catégorie
de représentation
de carquois.

le demi-plan
définie quelles
particules

$$Z(F) = d \cdot \vec{Z}$$

Charge centrale = forme linéaire sur le sp. de Grothendieck de la catégorie dérivée de repr. de Carquei.

Mutation de Carquei est la même +

$\varepsilon = 1$ mut. à droite

$\varepsilon = -1$ mut à gauche

$\gamma_{ij} = \#$ fleches de i à j au sommet k

$$\gamma'_{ij} = \begin{cases} -\gamma_{ij} & \text{si } i=k \\ \gamma_{ij} + \max(0, \gamma_{ik} \gamma_{kj}) \operatorname{sign}(\gamma_{kj}) & \end{cases}$$

$$Z'_i = \begin{cases} -Z_i & \text{si } i=k \\ Z_i + \max(0, \varepsilon \gamma_{ik}) Z_k & \end{cases}$$

$$d'_i = \begin{cases} -d_i + \sum_{j \neq k} d_j \max(0, \varepsilon \gamma_{jk}) & \text{si } i=k \\ d_i & \text{si } i \neq k \end{cases}$$

$$\Omega(\vec{d}, \vec{Z}, Q) = \Omega(\vec{d}', \vec{Z}', Q)$$